

بخشندی خودکار ساختارهای مغزی در تصاویر تشدید مغناطیسی بوسیله کانتورهای متعامل (Interactive) مبتنی بر اسکلت میانی

دکتر بابک نجار اعرابی	دکتر حمید سلطانیان زاده	نعمت الله
دانشکده فنی دانشگاه تهران /	دانشکده فنی دانشگاه تهران /	باتمانقلیج
گروه برق	گروه برق	دانشکده فنی دانشگاه تهران /
araabi@ut.ac.ir	hszadeh@ut.ac.ir	گروه برق
		Batmanghelich@gmail.com

روشی که بتواند به صورت خودکار به بخش بندی تصاویر بپردازد و احتیاج به دخالت متخصص نداشته باشد به صورت یک چالش باقی مانده است. تا کنون روش‌های مختلفی برای بخشندی تصاویر پژوهشی ارائه شده است. روش ارائه شده توسط Kass و گروهش [1] و یا معادل گستته آن در کار Lobregt و گروهش [2] تحت عنوان مدل مار¹ اگرچه یک ابداع جدید بود که سرمنشا روش‌های دیگر قرار گرفت اما خود دارای اشکالات فراوانی بود که از جمله می‌توان به وابستگی به شرایط اولیه و حساسیت بسیار زیاد به نویز اشاره کرد. بعلاوه محدودیت مشخصی قبل اعمال بر روی مدل نبود و در نتیجه مدل تقریباً به صورت کور عمل می‌کرد و امکان تغییر شکل آن به هر صورتی وجود نداشت. گروه Cootes مدل دیگری به نام ASM² ارائه داد [3] که به صورت آماری عمل می‌کرد و با توجه به داده‌های آموزش و میزان تغییرات مشاهده شده در آنها میزان تغییرات را اعمال می‌کرد. این روش اگرچه از حيث

چکیده : هدف این مقاله ارائه روشی است که با استفاده از مدل Medial Representation (m-Rep) تشدید مغناطیسی را به طور خودکار بخشندی نماید در این راستا ما از چند مدل که با یکدیگر تعامل (Interaction) دارند استفاده می‌کنیم و این تعامل ما را به بخش بندی درستتری می‌رساند. برای ایجاد تعامل تابع انرژی جدیدی تعریف می‌کنیم سپس با استفاده از یک روش عددی به نام Trust-Region که برای بهینه سازی توابع غیر خطی استفاده می‌شود تابع مذکور را بهینه مینماییم. نتایج عملی دقت بالای روش پیشنهادی را نشان میدهد.

واژه‌های کلیدی: بخش بندی، مدل شکل پذیر مبتنی بر خط میانی، تعامل(Interaction)، اطلس

۱- مقدمه

بخشندی تصاویر تشدید مغناطیسی به علت کاربردهای فراوانی که در پژوهشی چه در امر تشخص و چه در جراحی دارد مورد توجه قرار گرفته است. اما هنوز

¹ Snake

² Active Shape Model

ها بتوانند از این خاصیت که نسبت به هم متقارن هستند - چه از جهت ابعاد و چه از جهت اندازه - برای یافتن درست ساختار مورد نظر ما استفاده کنند.

2- روش پیشنهادی

2-1- تعریف مدل

در مدل پیشنهادی هر اطلس شامل تعدادی شی است که دو به دو با هم جفت هستند. در هرپیکره، یک ستون فقرات وجود دارد که در حقیقت این ستون فقرات است که نقاط مرزا را مشخص میکند. فرق این حالت با روشهای معمول نمایش بوسیله نقاط میانی در این است که در آنها مرزا هستند که اسکلت میانی را بیان میکنند در حالی که در این مدل نقاط میانی است که نقاط مرزا را تعیین میکند. این حالت به مراتب پایدارتر از مدل های قبلی بوده و تغییرات کوچک در نقاط مرزا باعث تغییرات زیاد در اسکلت نمیشود و در نتیجه بیان کلی شی بوسیله اسکلت ممکن میشود. ستون فقرات از یک سری از نقاط به نام اتم های مرکزی⁶ تشکیل شده است.

ممکن است به پیکره اصلی تعدادی از اسکتها دیگری هم وصل باشند که میتوانند خود شی های دیگری باشند و یا برای مدل کردن فرو رفتگی و یا برآمدگی های شکل باشند. این حالت در شکل¹ نشان داده شده است.

هر اتم میانی به اتم های میانی دیگر بوسیله رابط⁷ هایی متصل شده است. این رابطها میتوانند بین اتم های میانی درون یک پیکر و یا اتم های میانی بین اسکلت های دو پیکر باشد (یکی پیکر اصلی و دیگری زیر پیکرها⁸). هر اتم بوسیله دو رابط رابط که در اینجا با بردار \vec{d} نمایش داده شده است به نقاط مرزا

آزادی بیش از حد در حرکت مانند روش مار نبود و فرم کلی مدل را حفظ میکرد اما خود دارای اشکالاتی بود. از جمله اینکه از آنجا که روش مذکور یک روش آماری است داده های آموزش زیادی احتیاج داشت و تعداد داده های آموزش کم باعث میشود اعتبار آماری روش کم شود. دو مین اشکال این بود که همانند روش مار این روش نیز نسبت به شرایط اولیه بسیار حساس است.

¹m-Rep اخیراً مدلی تحت عنوان Pizer و گروه وی در دانشگاه کارولینای شمالی ارائه شد [4] و [5] که در آن برای اینکه مدل دارای حرکات محدودی باشد و به فرم های ناخواسته درنیا ید، تغییرات مدل به حرکات اسکلت میانی آن محدود شده است. فرق این روش با انواع مشابه آن در این است که در این مدل این اسکلت است که مرزا های شکل را معلوم میکند و نه بر عکس [5]. این باعث میشود یک اسکلت بتواند یک شکل پایدار از مدل را فراهم آورد. اگرچه در مقالات ارائه شده توسط این گروه امکان وجود چند مدل - و نه تعامل² آنها - ارائه شده بود اما در هیچ کدام از مقالات ارائه شده توسط این گروه اشاره ای به پیاده سازی و استفاده عملی از آن نشده است.

در این مقاله با استفاده از m-Rep پایه مدل جدیدی ارائه میدهیم که علاوه بر داشتن قابلیت های مدل اصلی قابلیت جدیدی که همان امکان همکاری کانتورهای مختلف با یکدیگر است فراهم شود. از آنجا که مدل برای بخشندی همزمان شش بخش از مغز استفاده شده است، اعضا به صورت جفت - در اینجا یعنی دو پوتامن³ سمت راست و چپ و تalamوس⁴ راست و چپ و دو هسته کودت⁵ - با یکدیگر تعامل دارند. این همکاری باعث میشود که از در داخل هم رفتن مدل ها جلوگیری شود و از طرف دیگر مدل

¹ Medial Representation

² Interaction

³ Putamen

⁴ Thalamus

⁵ Nucleus Caudate

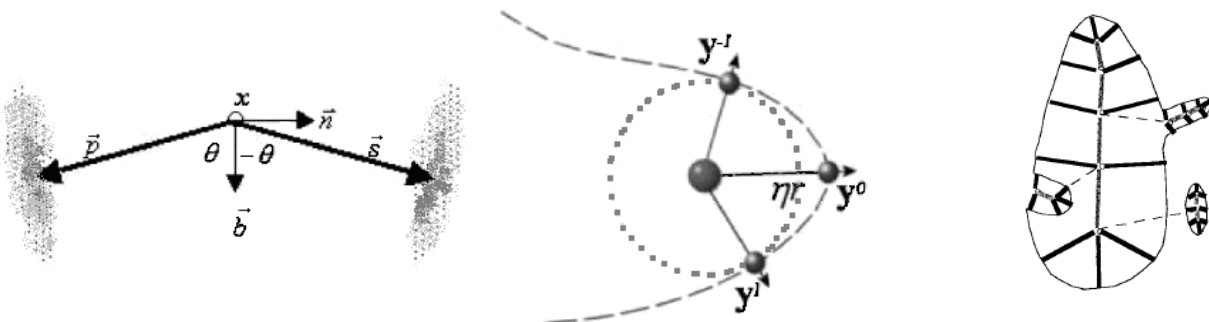
⁶ Medial Atom

⁷ Link

⁸ Subfigure

علت اینکه بتوانیم نقاط انتهای را هم به خوبی بقیه نقاط بیان کنیم، تعریف این اتم‌ها با بقیه اتم‌ها کمی متفاوت است. به بیان دیگر می‌توان گفت مرزهای شی پوش دایره‌هایی است که مرکز آنها در اتم‌های میانی قرار دارد.

وصل شده است. این پارو مانند با راستای باریک شدن مرزها که بردار \mathbf{b} نام دارد زاویه θ تشکیل می‌دهد و مرزهای متناظر خود را با یک طول به اندازه r از اتم میانی و در راستای \vec{s} معلوم می‌کند. تنها اتم‌های انتهایی هستند که با بقیه اتم‌ها فرق دارند. به



شکل 1. در این شکل یک حالت تقریباً کلی از نمایش شکل با اسکلت میانی نمایش داده شده است. شکل سمت راست شی شبیه سب زمینی، شی اصلی است و شکل‌های اطراف هم برای بیان شی‌های اطراف و یا مدل کردن برآمدگی‌ها و یا فرورفتگی‌های شکل استفاده شده است [5]. سمت چپ نمایش یکی از اتم‌های میانی است که با چهار پارامتر b, n, x, θ بیان می‌شود. شکل وسط یکی از اتم‌های انتهایی را نمایش می‌دهد که پارامتر اضافه‌ای نیز به نام η برای آن تعریف شده است [4].

پیکر هم به صورت این تعریف می‌شود:

$$\mathbf{y}^0 = \mathbf{x} + r\eta\mathbf{b} \quad \eta \geq 1.0 \quad (2)$$

علت تعریف پارامتر جدید این است که این تعریف مرزها از روی نقاط میانی برای نقاط لبه مدل چندان کارا نیست. بنابراین پارامتر جدیدی برای نقاط لبه تعریف می‌کنیم تا به آنها اجازه دهیم تا کم انعطاف پذیر باشند. در حقیقت پارامتر η بیان‌گر میزان تیز شدگی لبه‌ها نسبت به دایره است. با داشتن زنجیره از اتم‌های میانی و عمل درون یابی می‌توان به یک خم پیوسته از اتم‌های میانی رسید. اگر $\mathbf{x}(u), u \in [i, i+1]$ یک اتم از مجموعه اتم‌های میانی باشد در آن صورت برای بدست آوردن اتم‌های میانی بین آنها داریم:

$$\mathbf{x}(u) = \sum_{m=0}^3 \mathbf{d}_m u^m \quad (3)$$

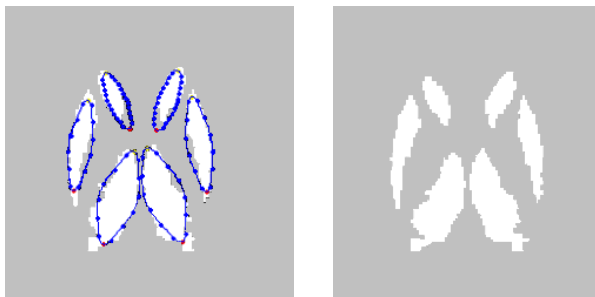
که در آن \mathbf{d}_m ‌ها طوری هستند که بتوانند شرایط عمود بودن و مماس

از آنجا که این حالت برای توضیح نقاط انتهایی پیکر چندان مناسب نیست برای نقاط انتهای نوع خاصی از اتم‌ها را تعریف می‌کنیم. برای حالت دو بعدی، اسکلت میانی به صورت زنجیره ای از اتم‌های میانی است $\mathbf{m}_i, i \in [1, N]$. برای هر کدام از اتم‌های میانی یک ساختار دو تایی به صورت $\mathbf{F} = (\mathbf{b}, \mathbf{n})$ تعریف می‌شود که در آن \mathbf{b} امتداد باریک شدن مرزهای مدل را نشان می‌دهد و در حقیقت $\nabla r = -\mathbf{b} \cos \theta$ که r شعاع دایره ای است که به مرکزیت آن اتم میانی بر مرز مماس است و θ زاویه بردار \mathbf{b} را با بازویی که اتم میانی را به مرز متصل می‌کند. \mathbf{n} بردار عمود بر \mathbf{b} است. پس هر اتم میانی به این صورت تعریف می‌شود $\mathbf{m}_i = (\mathbf{F}_i, r_i, \theta_i)$. بردارهای عمود بر خم مرز مدل به این صورت تعریف می‌شود:

$$\begin{aligned} \mathbf{p} &= R(\theta)\mathbf{b} & \mathbf{s} &= R(-\theta)\mathbf{b} \\ \mathbf{y} &= \mathbf{x} + r\mathbf{p} & \mathbf{y} &= \mathbf{x} + r\mathbf{s} \end{aligned} \quad (1)$$

که در آن $R(\theta)$ ماتریس دوران در صفحه است. برای نقاط لبه

در مراحل بعدی تابع خطایی که باید بهینه شود را طوری تعریف می‌کنیم که خاصیت بایاس نداشته باشد. در شکل 2 نمایی از اطلس ساخته شده را مشاهده می‌کنیم.



شکل 2. شکل سمت راست اطلس کلی را بروی داده‌های بخش‌بندی شده توسط متخصص نشان می‌دهد و شکل سمت چپ همان اطلس را بر روی داده اصلی نشان می‌دهد.

3-3- استفاده از مدل مبتنی بر اسکلت میانی برای بخش بندی تصاویر

تمام آنچه تا به حال تعریف شد برای این است که بتوان از آن برای عمل بخش‌بندی استفاده کرد. با داشتن یک ساختار مبتنی بر اسکلت میانی می‌توان بر تغییرات آناتومیکی با تعریف تبدیل‌های مناسب انطباق پیدا کرد. برای انجام عمل انطباق چند مرحله تبدیل تعریف می‌شوند که هریک از تبدیل‌ها در مقیاس خودشان عمل می‌کنند و در حقیقت به عنوان یک پیش‌فرض و هم یک بارگذاری اولیه برای مرحله بعدی محسوب می‌شوند. به این منظور چهار مرحله تبدیل تعریف می‌شود که برای هر کدام هم تابع هزینه مخصوص همان تبدیل را تعریف می‌کنیم که در زیر می‌آید:

الف- تبدیل شباهت در مقیاس اطلس کلی¹

اگر $(\alpha, \mathbf{O}, \mathbf{t}) = S^0$ تبدیل شباهتی را نمایش دهد که قرار است روی کل اطلس اعمال شود، در آن صورت α مقدار مقیاس در تبدیل شباهت و \mathbf{t} میزان جابجایی و \mathbf{O} ماتریس دوران

بودن خم را نقطه x برآورده کنند. تابع $r(u)$ ، تابع درون یابی شده شعاع‌ها است که می‌تواند توسط همان روش بدست آید. با داشتن r و ∇r می‌توانیم چارچوب \mathbf{F} ، را $\nabla r(u) = -b(u) \cos \theta(u)$ بوسیله رابطه پیوست آوریم. با داشتن پارامترهای بالا می‌توانیم نقاط مرزهای پیوسته را به این صورت محاسبه کنیم:

$$\begin{aligned} \mathbf{y}^1(u) &= \mathbf{x}(u) + rR(\theta(u))\mathbf{b}(u) \\ \mathbf{y}^{-1}(u) &= \mathbf{x}(u) + rR(-\theta(u))\mathbf{b}(u) \end{aligned} \quad (4)$$

که در آن $R(\theta)$ ماتریس دوران در صفحه است و $\mathbf{y}^1(u)$ و $\mathbf{y}^{-1}(u)$ به ترتیب بیانگر مختصات نقاط سمت راست و چپ اتم میانی هستند. برای درون یابی نقاط انتهایی هم یک خم پارامتری را طوری تنظیم می‌کنیم که از $\mathbf{x} + \eta r \mathbf{b}$ بگذرد و در آن نقطه بر \mathbf{b} آن عمود باشد [4]:

$$\begin{aligned} c(t) &= \mathbf{x} + r\eta(t)R(t\theta)\mathbf{b} \\ \eta(t) &= (\cos(t\pi) + 1) \frac{(\eta - 1)}{2} + 1 \end{aligned} \quad (5)$$

2-2- ساختن مدل و اطلس کلی

برای ساختن اطلس کلی ابتدا باید هریک از مدل‌ها را ساخت. آنگاه چند مدل باهم یک اطلس را تشکیل می‌دهند. به این منظور ابتدا ساختارهایی را که می‌خواهیم بخش‌بندی کنیم انتخاب می‌کنیم و از یک متخصص می‌خواهیم که آنها را بخش‌بندی کند. سپس با روشهای در سطور بعد توضیح خواهیم داد یک مدل را بر روی آنها منطبق می‌کنیم. از آنجا که مدل‌ها قابلیت تغییر شکل دارند و ما نمی‌خواستیم اطلس مان نسبت به یک داده بایاس شود، فقط کلیات را با مدل در این مرحله می‌گیریم و از اطلاعات بدست آمده از این مرحله، مثل فاصله حدودی مدل‌ها تا خط مرکز اطلس و اندازه اولیه هر یک از ساختارها، برای بارگذاری اولیه استفاده می‌کنیم.

¹ Atlas-Level Similarity Transformation

از طریق عبارات $E_{mutuallocation}$ و $E_{mutualsize}$ امکان تعامل بین دو مدل فراهم میگردد و از طریق $E_{Conflict}$ از ایجاد Conflict جلوگیری به عمل میآید. علت اینکه $E_{Conflict}$ به این صورت تعریف شده است این است که در صورت وجود هر گونه Conflict در هر تکرار خطأ تصاعدی بالا رود و این افزایش خطأ از بوجود آمدن هرگونه Conflict جلوگیری کند.

خطای $E_{mutualsize}$ به این صورت تعریف میشود:

$$(9) \quad E_{mutualsize} = \sum_{i \in \{coupledModels\}} \sum_{j=1}^{N_c} \sum_{\substack{k=1 \\ k \neq j}}^{N_c} \left\| \mathbf{R}_{ij} - \mathbf{R}_{ik} \right\|$$

که در آن $\mathbf{R}_{ij}, \mathbf{R}_{ik}$ بردار شعاع های اتم های مختلف از جفت مدل i ام و k به ترتیب مدل های j ام و مدل k ام از آن جفت است. مثلاً ما در اینجا سه جفت داریم. جفت کودتها، جفت پوتامنها، جفت تalamوس که هر کدام دو عضو دارند. بنابر این $N_c = 2$. باعث میشود که دو مدل از یک جفت تا آنجا که میتوانند هم اندازه باشند. این عبارت از آنجا مهم است که دو پوتامن و یا دو هسته کودت در دو طرف مغز تقریباً متقارن هستند و این میتواند برای ما اطلاعات داشته باشد. با تعریف این عبارت به نوعی اندازه دو مدل روی یکدیگر شرط میگذارند.

عبارت $E_{mutuallocation}$ به این صورت تعریف میشود:

$$(10) \quad E_{mutuallocation} = \sum_{i \in \{coupledModels\}} \sum_{j=1}^{N_c} \sum_{\substack{k=1 \\ k \neq j}}^{N_c} |d_{ij} - d_{ik}|$$

در این عبارت d_{ij}, d_{ik} به ترتیب فاصله مدل k ام و j ام از جفت i ام تا خط مرکزی اطلس است. در اینجا هم $N_c = 2$ است. این عبارت باعث میشود که اطلس تا آنجا که ممکن

است. این تبدیل بر کل اطلس اعمال میگردد:

$$(6) \quad \mathbf{m}_i^1 = S^0 \circ \mathbf{m}_i = \{\alpha \mathbf{Ox}_i + \mathbf{t}, \alpha r, \mathbf{O}^0 \mathbf{F}, \theta\}$$

که در آن \mathbf{m}_i^1 چارچوب همراه هریک از تم های میانی را نشان می دهد که شامل محل اتم \mathbf{x}_i ، چارچوب \mathbf{F} و مقیاس r و زاویه بردار \mathbf{b} با بردار های بیان کننده مرزهاست.تابع هزینه ای که برای این تبدیل تعریف میشود به صورت یک تابع گوسی است که واریانسی متناسب با شعاع هر نقطه دارد و میزان جابجایی شئ را بعد از اعمال تبدیل نسب به شئ اصلی نشان می دهد.

$$(7) \quad E_{Atlas Level} = \left[- \int_B \frac{\|y - S^0 \circ \mathbf{y}\|^2}{2(\sigma r(y))^2} dy \right]$$

در حقیقت این تبدیل باعث میشود که یک تبدیل شباهت روی کل اطلس اعمال شود و از این مرحله برای بارگذاری اولیه کلی اطلس برروی حدس اولیه که بوسیله روش [6] بدست آمده است استفاده میشود.

ب- تبدیل شباهت در مقیاس کل شی¹

این تبدیل از لحاظ روابط شبیه روابط تبدیل شباهت در مقیاس اطلس است ولی توابع انرژی آن متفاوت تعریف میشود. فرق این مرحله با مرحله قبلی در این است که این تبدیل روی هر کدام از مدل ها اعمال میشود. پس بنابراین باید تمهیدی اندیشید که اولاً بتوان بین مدل ها تعامل برقرار کرد و از طرف دیگر بتوان از Conflict جلوگیری کرد. این کار را بوسیله تعریف چند عبارت انرژی انجام می دهیم:

$$(8) \quad E_1 = \left[- \int_B \frac{\|y - S^0 \circ \mathbf{y}\|^2}{2(\sigma r(y))^2} dy \right] + E_{mutualsize} + E_{mutuallocation}$$

$$E_{Object Level} = E_1(1 + E_{Conflict})$$

¹ Object-Level Similarity Transformation

شباht هریک از اتم ها باشد در آن صورت:

$$\mathbf{m}_i^2 = S_i^1 \circ \mathbf{m}_i^1 = \left\{ \alpha_i \mathbf{O}_i \mathbf{x}_i^1 + \mathbf{t}_i, \alpha_i r_i^1, \mathbf{O}_i^1 \mathbf{F}_i^1, \theta_i^1 + \beta_i \right\} \quad (12)$$

همانطور که دیده می شود این تبدیل روی نتیجه تبدیل یافته قبلی انجام می گیرد. تابع هزینه این تبدیل نیز شبیه قبلی است با این تفاوت که یک عبارت میدان تصادفی مارکوف² که روی انتقال اعمال می شود، اضافه شده است که ما را از هموار بودن مدل مطمئن می کند. تابع هزینه آن به این صورت تعریف می شود:

$$E_1 = \left[- \int_B \frac{\|y - S^1 \circ y\|^2}{2(\sigma r(y))^2} dy - \sum_{i,j} \sum_{n,m=-1}^{n,m=1} \frac{\|\mathbf{t}_{i,j} - \mathbf{t}_{i+n,j+m}\|^2}{\|\mathbf{x}_{i,j}^1 - \mathbf{x}_{i+n,j+m}^1\|^2} \right] + E_{mutualsize} + E_{mutualallocatoin}$$

$$E_{AtomLevel} = E_1(1 + E_{Conflict}) \quad (13)$$

ت- تنظیمات دقیق³

در مرحله نهایی، فقط برای ساختار کودت یک تنظیم نهایی با استفاده از مدل مار انجام می شود. تابع ها در تصویر گرفته شوند. علت این که این کار را بر روی بقیه انجام نمی دهیم این است که یا ل به مشخصی برای آن ساختار وجود ندارد (تالاموس) و یا مدل مار به علت فرم خاص آن و داشتن شکل تیز (پوتامن) قابلیت چندانی در بهبود مدل ندارد، بعلاوه مدل اصلی جواب های قابل قبولی برای آنها می دهد.

ث- انرژی شباht بدست آمده از اطلاعات تصویر⁴
تابع هزینه هایی که تابع هزینه شدن سعی داشتند تا شی را به نوعی در فرم اصلی خود نگهدازند و

است نسبت به خط مرکزی متقارن باشد.

عبارت $E_{Conflict}$ به این صورت تعریف می شود:

$$E_{Conflict} = \sum_{\substack{i,j \in \{All of Models\} \\ i \neq j}} \sum_{k=1}^{N_i} \sum_{l=1}^{N_j} u(d(y_{ik}, y_{jl}) - d_{min}) \times |d(y_{ik}, y_{jl}) - d_{min}|$$

$$u(t) = \begin{cases} 1 & t > 0 \\ 0 & t \leq 0 \end{cases} \quad (11)$$

در عبارت فوق، y_{ik} نقطه مرزی k ام از مدل i ام است و $d(y_{ik}, y_{jl})$ فاصله نقطه مرزی k ام از مدل i ام تا نقطه مرزی l ام تا مدل j ام را نشان می دهد. N_i و N_j به ترتیب تعداد نقاط مرزی مدل i ام و j ام را نشان می دهد. $u(t)$ همانطور که نشان داده شده است یک تابع پله است که به ازای مقادیر منفی و صفر، صفر است و به ازای مقادیر مثبت یک است. اگر هیچ Conflictی وجود نداشته باشد، مقدار این خطاب صفر است و در صورت وجود، یک ضریب که متناسب است با میزان Conflict در خطاهای قبلی ضرب می شود و باعث می شود که هر چه مدل بیشتر در آن نقطه بماند جریمه بیشتر در یافته کند. در نتیجه مدل از هرگونه Conflict امتناع می کند.

پ- تبدیل در مقیاس اتم های مرکزی¹

بعد از اعمال تبدیل شباht بر روی کل شی و انجام تغییرات کلی، نوبت به تغییرات جزئی می رسد. برای این کار تبدیلی روی هر کدام از اتم های میانی انجام می گیرد که به نوعی به هر کدام از اتم ها اجازه می دهد به صورت محلی تغییر کنند و تغییرات کوچکتر را هم مدل کنند. برای این مرحله، تبدیل های شباht برای هر کدام از اتم به صورت جداگانه تعریف و اعمال می گردد. اگر $S_i^1 = (\alpha, \mathbf{O}, \mathbf{t}, \beta)_i$ تبدیل

² Markov Random Field

³ Fine Tuning

⁴ Image DATA Log-Likelihood

¹ Atom Level Transformation

موارد مدل هدف را گم می‌کرد و یا از آن رد می‌شد. روش مورد استفاده علاوه بر سرعت نسبی خوب، از پایداری مناسبی نیز برخوردار بود.

3-نتایج عملی

در اینجا برای ارزیابی روش، نتایج آن را بر روی سه سری از تصاویر MR آورده‌ایم. داده‌ها از سایت^[8] IBSR استخراج شده بودند. برای مقایسه نتایج بدست آمده از روش فوق الذکر و نتایج بخشندی متخصص نیز از نتایجی که در این سایت قرار داده شده بود استفاده شد. ابتدا اسلایس‌هایی که شامل ساختارهای مورد نظر بودند جدا شدند و سپس با استفاده از

در نتیجه این نوع توابع هزینه همه بر روی شی تعریف شدند و ربطی به تصویر نداشتند. ولی برای حرکت به سمت اطلاعات تصویر احتیاج به تابع هزینه‌ای داریم که در آن اطلاعات تصویر نیز دخیل باشند. در اینجا ما از اطلاعاتی که در مورد ساختارها داریم استفاده می‌کنیم. ما میدانیم که هر سه ساختار از ماده خاکستری تشکیل شده‌اند و داخل آنها باید ماده خاکستری باشد. تابع هزینه بدست آمده از تصویر به این صورت تعریف می‌شود:

(14)

$$E_{\text{Img Data}} = \int_{-\delta}^{\delta} \int_B I_{\text{temp}}(\mathbf{y}, \hat{d}) I_{\text{data}}(\mathbf{y}', \hat{d}) d\mathbf{y} d\hat{d}$$

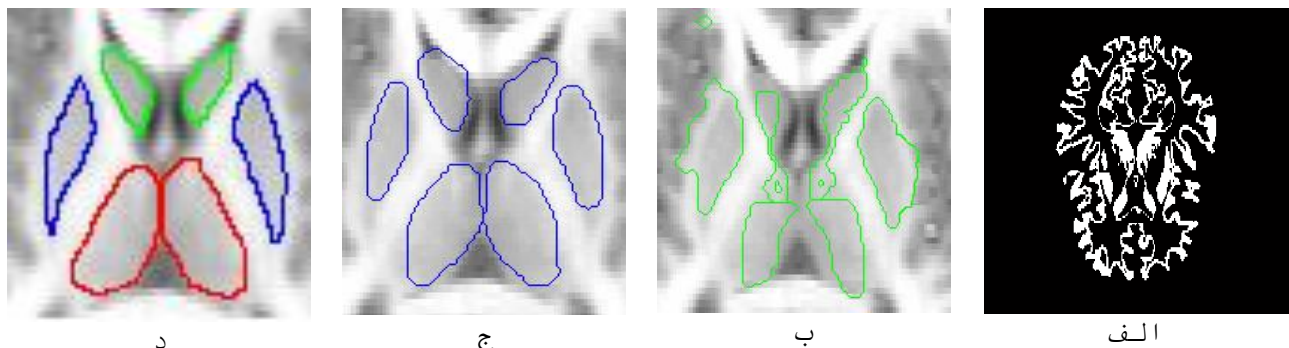
در این رابطه δ اندازه حاشیه‌ای است که در اطراف مدل برای یافتن حداقل همبستگی جستجو می‌کنیم. (\mathbf{y}, \hat{d}) نقطه‌ای از قالب اصلی است که با نقطه مرزی \mathbf{y} فاصله‌ای به اندازه $r\hat{d}$ دارد و (\mathbf{y}', \hat{d}) نیز نقطه‌ای از مدل تغییر شکل پیدا کرده است که از نقطه مرزی' \mathbf{y} فاصله‌ای به اندازه $r\hat{d}$ دارد.

برای رسیدن به هدف باید تابع خطایی که برای هر مرحله تعریف شده است حداقل شود. برای این کار تابع هزینه هر مرحله و تابع هزینه تصویر با هم جمع می‌شوند و با یک الگوریتم بهینه‌سازی حداقل می‌شوند. در اینجا از یک روش بهینه‌سازی Trust-Region که subspace interior-reflective Newton است برای بهینه‌سازی توابع غیرخطی استفاده می‌شود. هر تکرار این روش شامل حل خطی یک سیستم خطی بزرگ با استفاده از روش PCG¹ است[7]. علت استفاده از این روش پایداری عددی آن است. برای بهینه‌سازی تابع هزینه فوق الذکر ما ابتدا روش ساده Steepest Descend را نیز مورد آزمایش قرار دادیم، ولی در بعضی از

¹ Preconditioned Conjugate Gradients

جدول 1. منطقه سفید نتیجه بارگذاری اولیه است و ناحیه هاشور خورده نتیجه نهایی است. عددی که بدون پرانتز نوشته شده است از معیار فاصله است و عدد داخل پرانتز هم درصد همپوشانی است. (واحد فاصله بر اساس Pixel است و $\sigma = 10$)

	Caudate	Putamen	Thalamus
Case 1	3	4.3	7
	0.79(84%)	1.5(81%)	1.4(81%)
Case 2	2.15	3.9	2.48
	0.75(82%)	1.69(84%)	1.15(92%)
Case 3	4	7.9	3.1
	1.4(91%)	1.2(85%)	1.4(85%)



شکل 3. "الف" بخش بندی بافت خاکستری توسط الگوریتم fcm. "ب" نتیجه اجرای روش [6] را بدست آوردن حدس اولیه نشان میدهد. "ج" نتیجه نهایی الگوریتم است. "د" نتیجه بخش بندی متخصص را نشان میدهد.

اوقات به علت اینکه الگوریتم fcm در یافتن تخمین بافت های سفید و خاکستری اشتباه می کرد در بعضی از موارد قشر خاکستری مغز به ساختار پوتامن می چسبید. بعد از آن با توجه به حدس اولیه مدل در مقیاس اطلس بر روی تصویر بارگذاری شد و سعی شد در آن مرحله بیشترین همپوشانی را پیدا کند. بعد از این مرحله مدل ها روی تصویر GM عمل کردند و با توجه به تعاملی که بین آنها وجود دارد و اطلاعاتی که از تصویر بدست آورده اند بیشترین همپوشانی را با تصویر پیدا کردند (Object Level). بعد از این مرحله نوبت به مرحله تغییرات غیر خطی در مدل ها رسید (Atom Level). نهایتا تنظیم نهایی روی نتایج صورت پذیرفت.

برای مقایسه از دو معیار استفاده شده است، یکی نسبت اشتراک با آنچه مخصوص بدست آورده است و دیگری فاصله که به این صورت تعریف می شود:

نرم افزار FSL^[9] جمجمه از تصاویر حذف شد. سپس با استفاده از روش² fcm³ داده ها به چهار خوش⁴ ماده سفید⁵، ماده خاکستری⁶ و ماده مغزی⁷ نخاعی⁸ و پشت صحنه⁹ تقسیم شدند. بعد با استفاده از الگوریتم فازی ارائه شده در [6] نقاط اولیه که حدس اولیه ای از ساختارها هستند بدست آمد. در این روش با امتزاج⁸ فازی اطلاعات آناتومیکی که از ساختارها داریم یک حدس اولیه محل ساختارها بدست آمد. استفاده از الگوریتم فازی مذکور برای یافتن قسمتی از ساختار می شد. بعضی از اوقات این روش مذکور به یافتن منطقه بزرگتری از آنچه که باشد تشخیص داده شود می شد. مثلا در مورد ساختار پوتامن بعضی از

¹ fMRI Software Library

² Fuzzy c-Means Clustering

³ Cluster

⁴ White Matter (WM)

⁵ Gray Matter (GM)

⁶ Cerebro Spinal Fluid (CSF)

⁷ Background

⁸ Fusion

معمولی فرق چندانی نخواهد داشت.

از آنجا که روش پیشنهادی برای بخش بنده ساختارهای مورد نظر احتیاج به یک مرحله تقسیم تصویر به نقاط خاکستری و سفید و مایع مغزی نخاعی دارد، بنابر این نتیجه تا حدودی به این قسمت حساس است. خصوصاً روش ارائه شده در [6] که برای پیدا کردن یک حدس اولیه استفاده شده تا حد خیلی زیادی به این تشخیص حساسیت نشان میدهد. البته سعی شده است با تعریف تابع خطأ و استفاده از مدل شکل پذیر ارائه شده این حساسیت تا حد ممکن کم شود اما به هر حال استفاده از روشی که بتواند تخمین دقیق تری از بافت‌های مغزی بدهد منجر به نتایج بهتری خواهد شد.

در مقاله [4] به مدل سه بعدی Rep اشاره شده است ولی در آنجا از آن برای بخش بنده تصاویر CT استفاده شده است. به علاوه در آنجا به استفاده از آن به صورت چند مدل همزمان اشاره ای نشده است و تعاملی هم بین مدل‌ها تعریف نشده است. کار بر روی مدل اشاره شده برای ارتقای آن به سه بعد به عنوان هدف بعدی نویسنگان مقاله ادامه دارد.

5- مراجع:

- [1] M. Kass, A. Witkin, D. Terzopoulos, "Snakes: Active Contour Models," *International journal of computer vision*, vol. 1, pp. 321-331, 1988.
- [2] S. Loberget, M.A. Viergever, "A Discrete Dynamic Contour Model," *IEEE Transaction on Medical Imaging*, vol. 14, no. 1, pp. 12-24, 1995.
- [3] T.F. Cootes, C. J. Taylor, D.H. Cooper, "Active Shape Models – Their Training and Application," *Computer Vision and Image Understanding*, vol. 61, no. 1, pp. 38-59, 1995.
- [4] S. Joshi, S. Pizer, P. T. Fletcher, P. Yushkevich, A. Thall, "Multiscale Deformable Model Segmentation and Statistical Shape Analysis Using Medial Descriptions," *IEEE Transaction on Medical Imaging*, vol. 21, no. 5, pp. 538-550, 2002.
- [5] S. Pizer, D.S. Fritsc, P. Yushkevich, V.E. Johnson, E.L. Chaney, "Segmentation, Registration, and Measurement of Shape Variation via Image Object Shape," *IEEE Transaction on Medical Imaging*, vol. 18, no. 10, pp. 851-865, 1999.
- [6] V. Barra, J. -Y. Boire, "Automatic Segmentation of Subcortical Brain Structures in MR Images Using

$$H(A, B) = \max(h(A, B), h(B, A))$$

$$h(A, B) = \frac{1}{N_A} \sum_{a \in A} \min_{b \in B} \|a - b\| \quad (15)$$

که در آن یکی از مجموعه‌های A و یا B آن تصویری است که توسط متخصص بخشندی شده است و دومی هم نتیجه اجرای برنامه است. در جدول 1 نتایج حاصل که بیانگر عمل کرد مناسب و دقیق روش پیشنهادی است آورده شده است. همان‌طور که در جدول دیده می‌شود الگوریتم ارائه شده بر روی سه داده واقعی از سه شخص اجرا شده است. برای این کار الگوریتم مذبور بر روی دو یا سه اسلایس در هر مورد آزمایش شد و معیارهای فوق الذکر محاسبه شدند. نتایج جدول میانگین مقادیر محاسبه شده است.

4- نتیجه گیری

در این مقاله روشی خودکاری ارائه شد که بر اساس یک الگوریتم اولیه کملی که از یک آمدۀ است برای فازی بدبست آمدۀ استفاده بارگذاری اولیه یک اطلاع استفاده می‌شود که امکان تعامل بین مدل‌های آن برای بهبود عمل بخش بنده بوجود آمدۀ بود. تابع هزینه تعریف شده امکان مقارن شدن بیشتر مدل‌های جفت و جلوگیری از Conflict آنها با یکدیگر را ایجاد می‌کرد.

این روش کاملاً خودکار است و از بارگذاری اولیه تا حد امکان مستقل در نظرگرفته شده است. و از آنجا که مدل اولیه یک مدل تقریبی است مثل روش ASM احتیاج به داده آموزش زیاد ندارد اگرچه می‌توان از داده‌های آموزش برای ساختن اسکلت استفاده کرد. بعلاوه تعاملی که در m-Rep به عنوان روش پایه روش ما به صورت تئوری اراده شده بود در اینجا وجود دارد. از این روش می‌توان برای بخشندی تصاویر در داده‌های دیگر ازجمله CT هم استفاده کرد. البته ما در اینجا سعی کرده‌ایم از مقایسه استفاده کنیم و وجود مقایسه در آنجا می‌تواند مفید باشد و گرنه در صورت نبود مقایسه این روش با

- Information Fusion," *IEEE Transaction on Medical Imaging*, vol. 20, no. 7, pp. 549-558, 2001.
- [7] Coleman, T.F. and Y. Li, "An Interior, Trust Region Approach for Nonlinear Minimization Subject to Bounds," *SIAM Journal on Optimization*, vol. 6, pp. 418-445, 1996.
- [8] <http://www.cma.mgh.harvard.edu/ibsr/>
- [9] <http://www.fmrib.ox.ac.uk/fsl/>